

九州大学工学部 正員 山内豊稔
同 大学院 学生員 ○久楽勝行

1. まえがき 最近の土質力学の新しい分野として、粒状体の力学という分野が最上教授を始め、多くの方々によって研究されている。本研究では粒状体を箱につめ、その底の一部に流出口を設けた場合、粒状体がどのように流出するかという重力流の問題に対して、若干の考察を加えてみた。重力流は供給装置の容量、寸法、形状、材質によって異なり、又流出口の寸法、形状にも影響する。又粒状体の材質、比重、粒度、粒度分布、粒子形状、密度、含水比、粒子表面の滑りやすさに起因する粒状体の摩擦角、粘着力によって重力流は異なるものと考えられる。そこで本研究では、粒状体と粒の集まりとして考え、等しい球の集まりが幾何学的にどのように列げ得るか、又発生した間隙がどのように伝播するか、又肉眼分布がどのように変化するか等について考察し、次にスチールボール、砂、シラス、石炭粉の四種類の材料について実験を行い、材質によって異なるすべり面について、若干の考察を行った。

2. 粒の集まりとしての幾何学的考察 等しい球が図-1に示すような配列で箱に収まっているものと考え、下端の中央部に球2個分の流出口を設け、流出口より球が流出するものとする。この場合、次のような仮定を設けて、球がどのように列げ得るかを考察した。
 i) 球の列んでいる下端を流出面と考え、流出面上の球が流出すると、上の球がこの流出面に達する。この状態を第1段階として球の配列を考える。
 ii) 次に又、上の球が流出面に達した時を第2段階とし、順次継続的に重力流を考える。
 iii) 球の落下速度及び球の配列に用いる時間等については考慮しない。
 iv) 球間の摩擦、流出口と球の摩擦等については考慮しない。
 以上の仮定に基づいて、球の配列を考へ順次図示してみた。これらの図は紙面の都合により省略説明することにする。

(a) セン断面について 図-1のように接觸していた球が、図-2に示すような球の集め方をして、これがしだいに上部へ広がってゆく。そしてa, b, c, dのようにならぶ球の上に、1個の球が乗つていうような層(A-A)ができる。この層に対して 60° の角度を持ったセン断面(B-B), (C-C)ができる。それと同時に、流出口(H-G)に対しても 60° の角度を持つたセン断面ができる。球の移動する領域(変動領域)が上部に進むに従い、(A-A)層上に列ぶ球も少くなり、(A-A), (B-B), (C-C)層によつて囲まれた三角形に含まれる球も少くなる。図-3に示すような変動領域が形成される。

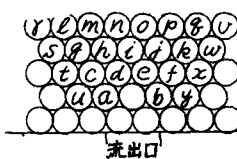


図-1

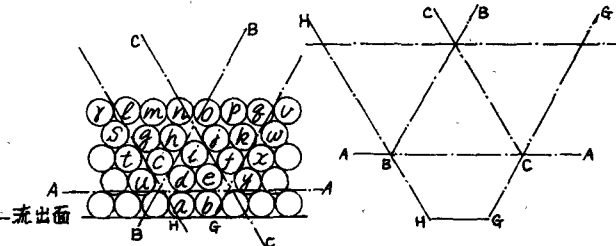


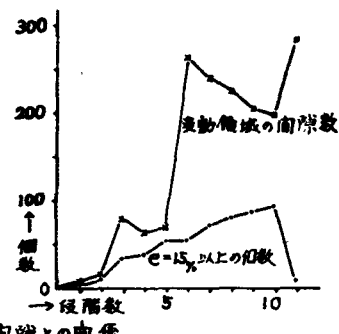
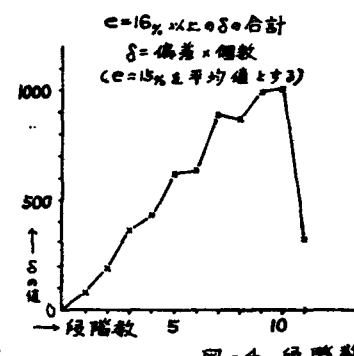
図-2

図-3 セン断面

れ、これが周期的にあら相似形をもつて大きくなり、最上部まで達する。又球の動くことによつて生ずる空隙に次の球が入り込むといふ現象が繰り返されて、一つのセシ断面なりと形成するものと考えられる。

(b) 不等隙比について

最上段³⁾が提案された“不等隙比”に着目して、変動領域における不等隙比の数とその偏差を計算し図示すると、図-4を得た(ここで $e = 15\%$ としたのは、図-1の隙比 $e = 14\%$ からである)。



図より、崩壊即ち球の流出が

増大するに従つて、不等隙比の数も増し、又その偏差も増大する。このことは、同教授のいう粒状体の崩壊の仕方と一致しているように思われる。但し変動領域が上部に達すると、下部の球の動きが最上部の動きに影響するため、粒状体内の間隙が最上部より外界に漏出するため、不等隙比は減少し、その偏差も小さくなる。

(c) 間隙比変動の周期的変化について 流出口の幅でもつて、流出口より上の部分を図-5に示すように分割して、その分割内の間隙率を各段階毎に求めてグラフにしたもののが図-6である。Brown と Richards⁽²⁾が実験から得た間隙比変動の周期的変化と同じような変化を図-6は示している。これは崩壊が進むにつれて、各分割内において図-4の(a)の状態にあつたものが、図-7の(b), (c), (d), (e)のような集り方とし、又(a)の状態になつたりするため、このような変動が起るものと考えられる。又流出口の軸上の部分が、そのまわりの部分よりも変動の振幅が大きく、かつ激しい。

3. 実験及び結果と考察 80cm × 40

cmのガラス板に5cm間隔で格子状に線を引いた2枚のガラスと1.4cmだけ空けて横にセットした。底は2枚の板と両側に引張ることによつて、上に乗せてあつた流出口の板が落ち、そのため試料が漏出し始めのような装置を作成し実験を行つた。そして始めは3秒毎に、漏出時間が長くなつたに従つて、時間間隔を長くして、各時間毎に合図して漏出重量を測り、写真撮影を行つた。試料はステールボールと砂とシラスと石炭粉の四種類を使つた。

A-8	B-8	C-8
A-7	B-7	C-7
A-6	B-6	C-6
A-5	B-5	C-5
A-4	B-4	C-4
A-3	B-3	C-3
	B-2	
	B-1	
		流出口

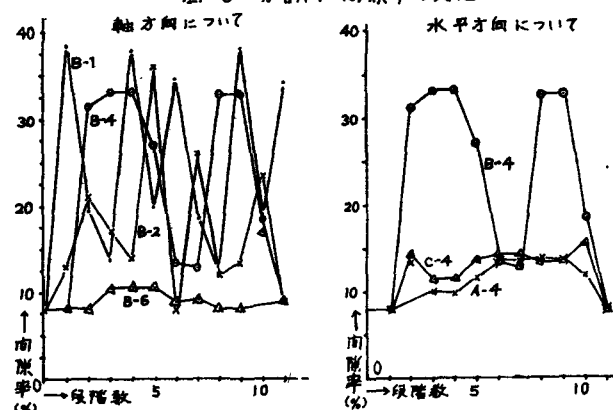


図-6 分割内の間隙率の変化

各試料について粒径及び粒径分布の
違いを考慮に入れて、ステールボールは1.6mmのものを、砂、
シラス、石炭粉はフリイ分りとして、

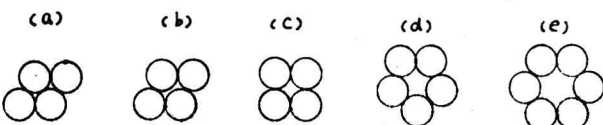


図-7 粒子の配列の仕方

0.84mm～2.0mmのものと使用した。そして上部より自然落下によって試料を詰めこみ、高さ10cm毎に着色した試料を1cm程度数いて、落F状況が目に見えるようにした。実験結果は表-1に示した。

(a) 間隙比及び安息角 自然落下によって試料を詰め込んだ場合、間隙比はシラスが最も大きく、ステールボールが最も小さい。これは粒状体の表面形状に起因していると考えられる。又

材料名	粒径 (mm)	重量 (g/g)	体積 (cm ³)	密度 (kg/cm ³)	比重	間隙比	最終時間 (sec)	最終角度 (°)	流速 (g/sec)	流速 (cm ² /sec)
ステールボール	1.6	20,260	4,132	4.903	7.74	0.58	493	31	$k=35.4$	$k=4.57$
砂	0.84-2.0	6,690	4,132	1.619	2.62	0.62	480	39	$k=10.9$	$k=4.16$
シラス	0.84-2.0	4,285	4,132	1.037	2.40	1.31	543	38	$k=7.17$	$k=2.99$
石炭粉	0.84-2.0	3,157	4,132	0.764	1.34	0.79	422	43	$k=6.50$	$k=4.86$

石炭粉が最も大きく、ステールボールが最も小さい。

(b) 流出時間と流出量との関係 箱に詰めた試料が流出し終了までの時間はシラスが最も長く、石炭粉が最も短い。そして流出時間と流出量との関係は、それぞれの試料について、比例の関係にある。

(c) 粒子運動及び流出漏斗の角度について Krapil¹¹によると貯槽内の粒子集団を形成する個々の粒子の動きには、垂直に自身の重さとその上の粒子の荷重によって起きるような単にその位置の変化一次運動と、傾き、回転などの運動が加わって、他の粒子の二次運動には本質的には影響を及ぼさず、粒子間の水平方向の距離をつめられた作用の役をする二次運動がある。そして粒子運動を黑白二層の粒子を用いて撮影したもので運動を解析すると、写真-1で見られるように出口の上に一次運動部分と見なされた横円の形ができる。この横円の中に相似形とした二次横円があり、出口の近くでしまが急に崩れ、出口へ漏斗状となっているのが観察される。この点が二次運動の頂点である。そこで、各層の横しまが漏斗状となした時の角度と時間とを表したもののが、表-2である。写真撮影から、一次運動横円はステールボールが最も大きく、シラスと砂はほぼ同じで、石炭粉はシラスと砂に比べて一次運動横円はやや小さいが、大きな差は認められない。それ故に横しまが漏斗状になると時の角度は、ステールボールが最も、

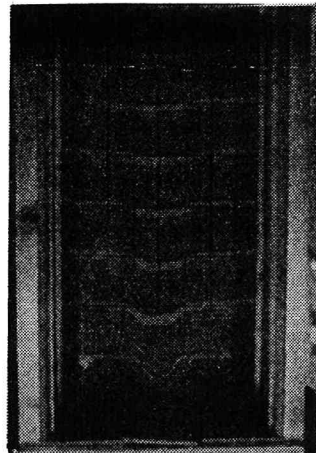


写真-1

表-2 流出漏斗の角度

		第1号(10cm)	第2号(20cm)	第3号(30cm)	第4号(40cm)	第5号(50cm)	
		左 右 平均	左 右 平均	左 右 平均	左 右 平均	左 右 平均	
全 ル	角度(°)	63.0	63.0	70.0	69.0	69.5	75.0
	時間(sec)	12	30	60	90	120	
砂	角度(°)	74.5	73.5	74.0	76.5	77.5	77.0
	時間(sec)	6	18	33	60	75	
シ ラ ス	角度(°)	74.5	74.0	74.3	77.5	77.5	79.5
	時間(sec)	6	21	39	75	90	
石 炭 粉	角度(°)	76.0	75.0	75.5	80.0	78.5	79.3
	時間(sec)	6	15	27	42	75	

とも小さく、砂とシラスがほぼ同じで、石炭粉が一番大きい。層が高くなるほどこの角度は大きくなり、試料の相違による角度の変化も小さくなる。漏斗状になるまでの時間はステールボールよりも長いが、これはステールボールの一次運動積円の及ぶ範囲が大きいためだと考らわれた。一次運動積円の影響範囲のほぼ同程度の三種のうちでは、シラスが最も長く、石炭粉が最も短い。以上の事から粒子の丸いほど一次運動積円の及ぶ範囲は広く、漏斗状になつたときの角度は小さい。逆に粒子が偏平になるとほど一次運動積円は小さくなり角度も大きくなる。漏斗状になるに用いる時間は、一次運動積円の及ぶ範囲が同程度であれば、表面がツルツルしているものほど早く、ザラザラでシン状のもののほど遅い。一次運動積円が最上部に達してから漏斗の幅の増加は、シラスの表面形状によるものと考えられた。

4. 幾何学的考察と実験結果との対比 図-1, 2において、i, d, eの球は重力の作用による位置の変わった球で、g, h, c, j, kの球は回転又は傾きによって水平移動を起している球である。そして(B-B)(C-C)のセン断面はこの相対的な動きの違いによって出来たセン断面である。(H-H)(G-G)というセン断面は、不動の球と回転又は傾きによって移動した球との動きの違いによってできたセン断である。このことから沈下曲線が水平な所は、粒子は位置の変化を、ある傾きとなしていいる所では、粒子は回転なり傾きを起していようと考らてよからう。以上のことをステールボールの沈下曲線を撮影した写真について考らてみると、流出口軸中央部には水平な沈下曲線が表われているので、この部分の粒子は垂直落下している粒子で、中央部両側では傾きとなしていいるので、この部分の粒子は回転や傾きを起して落下している粒子と考られた。そしてこのような粒子運動が上部へ伝播していく様子が観察された。次に砂、シラス、石炭粉の沈下曲線とみると、最初から傾きとなしていいるので、最初から回転なり傾きを起して沈下していると考られた。そこで粒子が球形であるほど垂直落下する粒子が多くなる。逆に粒子が偏平になるとほど垂直落下する粒子が少なく、回転したり傾きを起す粒子が多くなり、個々の粒子の相対的運動の変化が早く起る。それ故に流出漏斗も早く形成されその角度も急になり、幅も狭くなる。

5. 結び 粒の集まりとしての幾何学的考察においては最上教授の「われる崩壊理論と似かよ、た結果が得られたこと、及びBrownとRichardsの得た間隙比変動の周期的な変化とも似かよ。た結果が得られたことから、個々の粒子の動きを考える上において幾何学的考察も意味があるように思われる。又ステールボール、砂、シラス、石炭粉の四種類の粉粒体について実験を行ない、材質により異なる流出機構の違いを定性的ではあるが述べてきた。次に個々の粒子の回転及び傾きやすさが粒子の運動時のセン断角度と何らかの関係があると考られたが、このことは今後検討したい。又Krapilの考らすとはずしも一致しない点が見出されたが、これについても検討したい。

付記 紙面の都合より、図を全部掲げることができなかつたので、当日説明させていただきたい。

参考文献 1) 最上武雄；粒状体の力学、「土と基礎」Vol. 14, No. 1, 1967

2) 粉粒体供給装置委員会編；粉粒体の貯槽と供給装置、日刊工業新聞社

3) 田中達夫；貯槽から粉粒体を円滑に流出させる方法について—最近の2, 3の

研究紹介—「化学と工業」昭. 42, 七月号